

伝達マトリックス法による空間充実断面構材の有限変位解析

名古屋工業大学 学生員 ○森川 裕史
 名古屋工業大学 正員 萩原 芳顯
 名古屋工業大学 正員 松浦 勝

1. まえがき

空間構材の有限変位解析では、部材の有限回転を考慮せねばならず、巻きの意味での解析はいうまでもなく、支配方程式の定式化すら容易ではない。著者らは、すでに、新レハ定式化手法を示し、これにより、充実断面構材の巻きは支配方程式も誘導し、さらに、テーラー展開法による伝達マトリックス形式の離散化式も一部示している。^{1), 2)}

ここでは、上記の基本式のうち、微小ひずみ・有限変位の式を用い、簡単な例について、数値計算を行った結果について報告する。

2. 伝達マトリックス法における伝達式の説明

空間構材を有限要素に分割し、 $i, i+1$ 節点から成る有限要素を対象として節点から $i+1$ 節点へ物理量を移す伝達式を導く。

伝達式は微小ひずみの条件下の支配方程式を各物理量に関する 1 階の常微分方程式に変換した後にテーラー展開法を用い、要素長 ΔZ に関するべき級数で表わす。ここでテーラー展開による i から $i+1$ 節点への伝達式は物理量を Q とした場合、次のようになる。^{1), 3)}

$$Q_{i+1} = Q_i + \sum_{n=1}^{\infty} Q_i^{(n)} \cdot \Delta Z / n! \quad (1 \cdot a, b)$$

$$\Delta Z = Z_{i+1} - Z_i$$

通常、構造解析における外力は保存力として与えられることが多い、伝達式の物理量も固定座標成分が用いられるので、ここでも断面力、断面モーメントおよび分布外力、分布モーメントの成分は空間固定座標に変換して伝達式を表わす。

物理量の空間固定座標成分 $\{ \bar{F}_x, \bar{F}_y, \bar{F}_z, \bar{M}_x, \bar{M}_y, \bar{M}_z, [lab] \}$ および変位成分 $\{ u_x, u_y, u_z, w_0 \}$ を状態量とする伝達式を簡単のため、式(1)の ΔZ の 2 次までの展開式とすると、次のようになる。

$$\begin{Bmatrix} \bar{F}_x \\ \bar{F}_y \\ \bar{F}_z \end{Bmatrix}_{i+1} = \begin{Bmatrix} \bar{F}_x \\ \bar{F}_y \\ \bar{F}_z \end{Bmatrix}_i + \begin{Bmatrix} \bar{F}_x \\ \bar{F}_y \\ \bar{F}_z \end{Bmatrix}'_i \cdot \Delta Z$$

$$\begin{Bmatrix} \bar{M}_y \\ -\bar{M}_x \\ \bar{M}_z \end{Bmatrix}_{i+1} = \begin{Bmatrix} \bar{M}_y \\ -\bar{M}_x \\ \bar{M}_z \end{Bmatrix}_i + \begin{Bmatrix} \bar{M}_y \\ -\bar{M}_x \\ \bar{M}_z \end{Bmatrix}'_i \cdot \Delta Z + \begin{Bmatrix} \bar{M}_y \\ -\bar{M}_x \\ \bar{M}_z \end{Bmatrix}''_i \cdot \Delta Z^2 / 2! \quad (2 \cdot a, b)$$

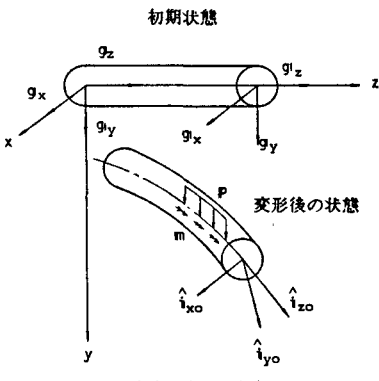


図-1 座標系

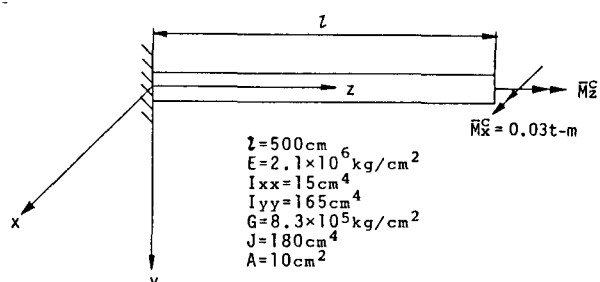


図-2 力学諸量

$$\begin{Bmatrix} U_0 \\ V_0 \\ W_0 \end{Bmatrix}_{i+1} = \begin{Bmatrix} U_0 \\ V_0 \\ W_0 \end{Bmatrix}_i + \begin{Bmatrix} U_0 \\ V_0 \\ W_0 \end{Bmatrix}'_i \cdot \Delta Z + \begin{Bmatrix} U_0 \\ V_0 \\ W_0 \end{Bmatrix}''_i \cdot \Delta Z^2 / 2!$$

$$[lab]_{i+1} = [lab]_i + [lab]'_i \cdot \Delta Z + [lab]''_i \cdot \Delta Z^2 / 2!$$

[lab]は、図-1に示す直交単位ベクトル($\hat{x}_0, \hat{y}_0, \hat{z}_0$)の空間固定座標の基底ベクトル($\hat{g}_x, \hat{g}_y, \hat{g}_z$)に対する方向余弦である。

通常の計算では、式(2)の離散化式から増分関係式を求め、ニュートンラブソン法により収束計算を行う。

3. 解析結果

収束計算が不要な簡単な例として、2.で求めた伝達式を用いて、図-2に示すような曲げモーメント \bar{M}_z^c (一定)とねじりモーメント \bar{M}_z^t が連成した片持バリについて解析を行った。図-3は、ねじりモーメント \bar{M}_z^t を0から20 t-mまで増加させた場合における片持バリの自由端のy軸方向の変位を示したものである。図-4は、 \bar{M}_z^t の10から20 t-mの各値における片持バリの変形状態を示したものである。

図-4.1は三次元的で、

図-4.2から4.4はそれをZ-Y, X-Y, Z-X平面に投影した場合を示した。なお、ここでは、片持バリの要素分割を100とし計算している。

<参考文献>

- 1) 後藤・松浦・長谷川：充実断面空間構材の有限変位理論の一定式化、構造工学論文集、Vol.31 A, 1985-3
- 2) 後藤・松浦・長谷川・西野：A NEW FORMULATION OF FINITE DISPLACEMENT THEORY OF CURVED AND TWISTED RODS, 土木学会論文集, No. 362, 1985-10

- 3) 阿井・村上：伝達関数法による面内曲げ有限変位問題の解析、土木学会論文報告集, No. 341, 1984-1

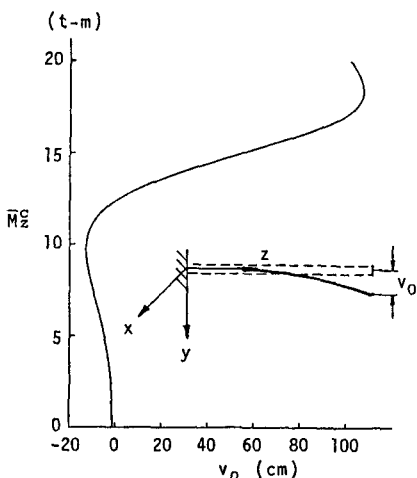


図-3 ねじりモーメント \bar{M}_z^t と変位 v_0 の関係

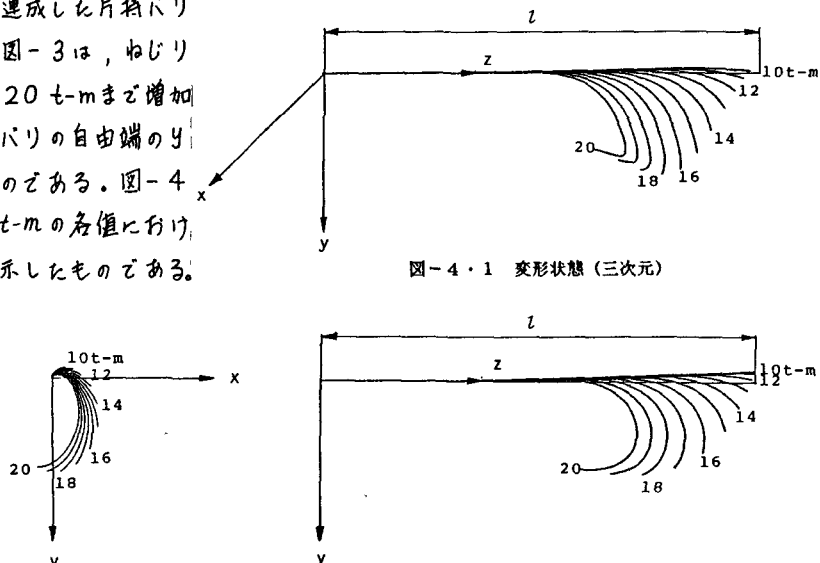


図-4.1 変形状態(三次元)

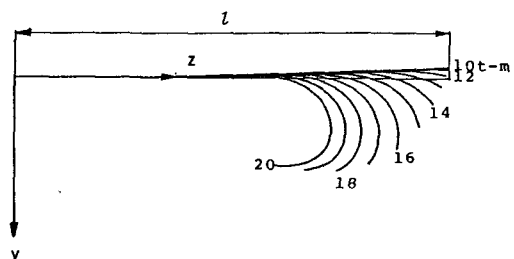


図-4.2 変形状態(z-y平面)

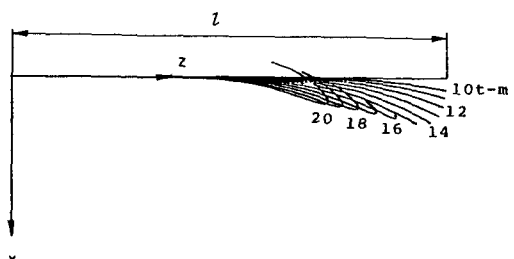


図-4.4 変形状態(z-x平面)